

# Routenfindung (3): Highway Hierarchies Star

## SE Verkehrssimulation und Optimierung

Thomas Schüttler   Frank Bicking



Institut für Informatik  
Humboldt-Universität zu Berlin

10. Dezember 2008

# Gliederung

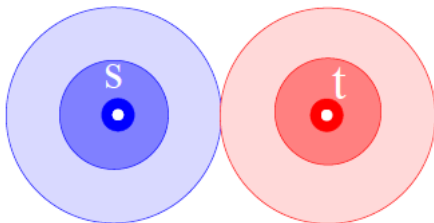
- 1 Einführung
  - Motivation
  - zielgerichtete Suche
- 2 Algorithmen
  - Algorithmus  $A^*$
  - $A^*$  mit Landmarken
  - Bestimmung von Landmarken
  - Highway Hierarchies \*
- 3 Optimierungen
  - Näherungslösungen
  - bessere obere Schranken
  - Limitierung der Komponentengröße
- 4 Auswertung
  - Ergebnisse
  - Zusammenfassung

# Gliederung

- 1 Einführung
  - Motivation
    - zielgerichtete Suche
- 2 Algorithmen
  - Algorithmus A\*
  - A\* mit Landmarken
  - Bestimmung von Landmarken
  - Highway Hierarchies \*
- 3 Optimierungen
  - Näherungslösungen
  - bessere obere Schranken
  - Limitierung der Komponentengröße
- 4 Auswertung
  - Ergebnisse
  - Zusammenfassung

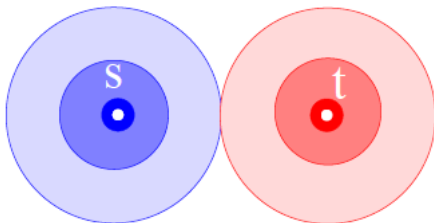
# Problemstellung I

- Routenfindung in sehr großen Straßennetzen
  - statische Punkt-zu-Punkt Verbindungen
  - schnelle Vorberechnung
  - andere Algorithmen: schnellere Anfragen (Transit-Node) oder speicherfreundlicher (Highway-Node)
- bisher mit HH



# Problemstellung I

- Routenfindung in sehr großen Straßennetzen
  - statische Punkt-zu-Punkt Verbindungen
  - schnelle Vorberechnung
  - andere Algorithmen: schnellere Anfragen (Transit-Node) oder speicherfreundlicher (Highway-Node)
- bisher mit HH



# Problemstellung II

- bisher erreicht
  - exakter kürzester Pfad
  - akzeptable Vorberechnungszeiten
  - Anfragezeiten für mobile Navigation gut
- Ziele
  - zielorientierte Suche
  - effiziente Abbruchbedingungen
  - Speicher- und Zeitpotentiale



# Problemstellung II

- bisher erreicht
  - exakter kürzester Pfad
  - akzeptable Vorberechnungszeiten
  - Anfragezeiten für mobile Navigation gut
- Ziele
  - zielorientierte Suche
  - effiziente Abbruchbedingungen
  - Speicher- und Zeitpotentiale



## Problemstellung III

- kommerzielle Lösungen
  - 100 km vom Ziel: Autobahn
  - 20 km: Landstraße und Autobahn
  - noch näher: bidirektionale Suche über alle Straßen
- schnell, aber ungenau
- Suche mit HH\*





## Problemstellung III

- kommerzielle Lösungen
  - 100 km vom Ziel: Autobahn
  - 20 km: Landstraße und Autobahn
  - noch näher: bidirektionale Suche über alle Straßen
- schnell, aber ungenau
- Suche mit HH\*

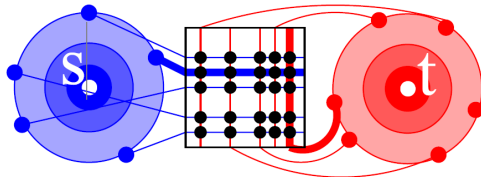


# Gliederung

- 1 Einführung
  - Motivation
  - **zielgerichtete Suche**
- 2 Algorithmen
  - Algorithmus A\*
  - A\* mit Landmarken
  - Bestimmung von Landmarken
  - Highway Hierarchies \*
- 3 Optimierungen
  - Näherungslösungen
  - bessere obere Schranken
  - Limitierung der Komponentengröße
- 4 Auswertung
  - Ergebnisse
  - Zusammenfassung

# Distanztabelle

- einfaches Verfahren
- Distanzen zwischen allen Knoten auf dem höchsten Kern
- Suche beendet, wenn alle Eintrittspunkte in höchsten Kern bestimmt
- Minimum aus allen Distanzen + Weglänge zu den Eintrittspunkten von Start und Ziel
- Speedup erst auf höchster Ebene



# Prinzipien

- suche zum Ziel lenken
- Priorität der Knoten wird um Potential  $\pi$  erhöht
- äquivalent zu einem Graph mit reduzierten Kosten
- Kosten müssen positiv sein



# Gliederung

- 1 Einführung
  - Motivation
  - zielgerichtete Suche
- 2 Algorithmen
  - **Algorithmus A\***
  - A\* mit Landmarken
  - Bestimmung von Landmarken
  - Highway Hierarchies \*
- 3 Optimierungen
  - Näherungslösungen
  - bessere obere Schranken
  - Limitierung der Komponentengröße
- 4 Auswertung
  - Ergebnisse
  - Zusammenfassung

## zur Erinnerung: Algorithmus A\*

- geschätzte Kosten  $h(x)$  von  $x$  bis zum Zielknoten
  - Heuristik darf nie überschätzen (geeignet: Luftlinie)
- Open List und Closed List (leer).
  - Nimm Startknoten  $s$  in die Open List auf.
  - Wiederhole solange Open List nicht leer:
    - Entnehme Knoten  $x$  mit geringster Priorität  $f_x$  aus Open List.
    - Wenn  $x$  Zielknoten, Terminiere mit Pfad gefunden.
    - Für alle Nachfolgerknoten  $v$  von  $x$ :
      - Wenn  $v \in$  Closed List, Fortsetzung bei nächstem Knoten.
      - $f = \text{Kosten}(s, x) + \text{Kosten}(x, v) + h(v)$
      - Füge  $v$  zur Open List hinzu, wenn noch nicht enthalten oder besserer Weg gefunden.
    - Füge  $x$  zur Closed-Liste hinzu.



# Gliederung

- 1 Einführung
  - Motivation
  - zielgerichtete Suche
- 2 Algorithmen
  - Algorithmus A\*
  - **A\* mit Landmarken**
  - Bestimmung von Landmarken
  - Highway Hierarchies \*
- 3 Optimierungen
  - Näherungslösungen
  - bessere obere Schranken
  - Limitierung der Komponentengröße
- 4 Auswertung
  - Ergebnisse
  - Zusammenfassung



# Landmarken

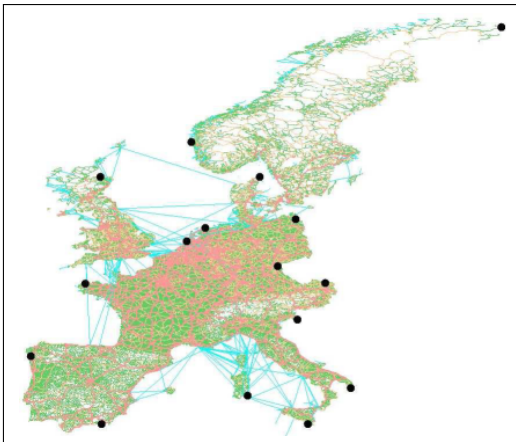


Abbildung: Landmarken



# A\* mit Landmarken I

- A\* mit bidirektionaler Suche
- Konsistenz:  $p_f = (\pi_f - \pi_r)/2 = -p_r$
- Menge von Landmarken  $L \subseteq V$
- vorberechnete Abstände:  $d(l, v), d(v, l)$  mit  $v \in V, l \in L$

## Dreiecksungleichungen

$$d(u, v) + d(v, l) \geq d(u, l)$$

$$d(l, u) + d(u, v) \geq d(l, v)$$

→ untere Schranke für  $d(u, v)$

$$\underline{d}(u, v) = \max_{l \in L} \max\{d(u, l) - d(v, l), d(l, v) - d(l, u)\}$$

# A\* mit Landmarken I

- A\* mit bidirektionaler Suche
- Konsistenz:  $p_f = (\pi_f - \pi_r)/2 = -p_r$
- Menge von Landmarken  $L \subseteq V$
- vorberechnete Abstände:  $d(l, v), d(v, l)$  mit  $v \in V, l \in L$

## Dreiecksungleichungen

$$d(u, v) + d(v, l) \geq d(u, l)$$

$$d(l, u) + d(u, v) \geq d(l, v)$$

→ untere Schranke für  $d(u, v)$

$$\underline{d}(u, v) = \max_{l \in L} \max\{d(u, l) - d(v, l), d(l, v) - d(l, u)\}$$



# A\* mit Landmarken I

- A\* mit bidirektionaler Suche
- Konsistenz:  $p_f = (\pi_f - \pi_r)/2 = -p_r$
- Menge von Landmarken  $L \subseteq V$
- vorberechnete Abstände:  $d(l, v), d(v, l)$  mit  $v \in V, l \in L$

## Dreiecksungleichungen

$$d(u, v) + d(v, l) \geq d(u, l)$$

$$d(l, u) + d(u, v) \geq d(l, v)$$

→ untere Schranke für  $d(u, v)$

$$\underline{d}(u, v) = \max_{l \in L} \max\{d(u, l) - d(v, l), d(l, v) - d(l, u)\}$$



## A\* mit Landmarken II

- ALT = A\* + Landmarken + Triangulation
- Algorithmus: wie A\*
- Auswahl von zwei Landmarken  $l_1$  und  $l_2$ 
  - Startknoten:  $l_1$  mit größter unterer Schranke zum Zielknoten
  - und umgekehrt
- Schätzfunktion: aus Dreiecksungleichungen
- um Faktor 30 schneller gegenüber bidirektionalem Dijkstra
- stark von Qualität der Landmarken abhängig
- im Folgenden: Auswahlstrategien



## A\* mit Landmarken II

- ALT = A\* + Landmarken + Triangulation
- Algorithmus: wie A\*
- Auswahl von zwei Landmarken  $l_1$  und  $l_2$ 
  - Startknoten:  $l_1$  mit größter unterer Schranke zum Zielknoten
  - und umgekehrt
- Schätzfunktion: aus Dreiecksungleichungen
- um Faktor 30 schneller gegenüber bidirektionalem Dijkstra
- stark von Qualität der Landmarken abhängig
- im Folgenden: Auswahlstrategien



# Gliederung

- 1 Einführung
  - Motivation
  - zielgerichtete Suche
- 2 Algorithmen
  - Algorithmus A\*
  - A\* mit Landmarken
  - **Bestimmung von Landmarken**
  - Highway Hierarchies \*
- 3 Optimierungen
  - Näherungslösungen
  - bessere obere Schranken
  - Limitierung der Komponentengröße
- 4 Auswertung
  - Ergebnisse
  - Zusammenfassung



# Avoid

- Idee: Ermittle Bereiche, die wenig abgedeckt sind.
- Wähle zufälligen Knoten  $r$  als erste Landmarke.
- Wiederhole:
  - Bestimme Baum mit kürzesten Pfaden  $T_r$  ausgehend von  $r$ :
  - Ist  $r$  ein Blatt, füge  $r$  zu Landmarken hinzu und breche ab.
  - Für jeden Kindknoten:
    - Gewicht:  $w_v = d(v, r) - \underline{d}(v, r)$
    - Größe:  $s_v = w_v +$  Größe aller Kindknoten in  $T_r$
    - Enthält  $T_v$  eine Landmarke, setze  $s_v = 0$ .
  - Setze  $r$  auf den Kindknoten mit maximaler Größe.
- Auswahl der Folgeknoten mit Wahrscheinlichkeit proportional zum Quadrat des Abstands zur nächsten Landmarke



# Avoid

- Idee: Ermittle Bereiche, die wenig abgedeckt sind.
- Wähle zufälligen Knoten  $r$  als erste Landmarke.
- Wiederhole:
  - Bestimme Baum mit kürzesten Pfaden  $T_r$  ausgehend von  $r$ :
  - Ist  $r$  ein Blatt, füge  $r$  zu Landmarken hinzu und breche ab.
  - Für jeden Kindknoten:
    - Gewicht:  $w_v = d(v, r) - \underline{d}(v, r)$
    - Größe:  $s_v = w_v +$  Größe aller Kindknoten in  $T_r$
    - Enthält  $T_v$  eine Landmarke, setze  $s_v = 0$ .
  - Setze  $r$  auf den Kindknoten mit maximaler Größe.
- Auswahl der Folgeknoten mit Wahrscheinlichkeit proportional zum Quadrat des Abstands zur nächsten Landmarke





# MaxCover

- Nachteil von A\*:
  - Resultate abhängig von zufällig ausgewähltem Startknoten.

## MaxCover

- Idee: Berechne  $n$ -mal größere Menge von Landmarken mit A\*.
- Ermittle geeignete Kandidaten durch lokale Suche.
  
- langsam: ca. 90 Minuten für 16 Landmarken



# Core Landmarks

- MaxCover für Europa: ca. 75 Minuten
- Highway Hierarchie: ca. 15 Minuten

Idee: Nutze Highway Hierarchien

Reduziere mögliche Landmarken durch Highway Hierarchien.

- höherer Kern als Basis statt Originalgraph
- reduzierte Knotenzahl → viel schnellere Berechnung
  - 16 MaxCover-Landmarken auf Level 3 in einer Minute
- Nachteile:
  - Highway Hierarchien tendieren zur Kartenmitte
  - Knoten am Rand wären dagegen geeignetere Landmarken
  - Landmarken in den unteren Ebenen nicht nutzbar
  - ungerichtete Suche bis alle Eintrittspunkte in Kern bestimmt



## Core Landmarks

- MaxCover für Europa: ca. 75 Minuten
- Highway Hierarchie: ca. 15 Minuten

### Idee: Nutze Highway Hierarchien

Reduziere mögliche Landmarken durch Highway Hierarchien.

- höherer Kern als Basis statt Originalgraph
- reduzierte Knotenzahl → viel schnellere Berechnung
  - 16 MaxCover-Landmarken auf Level 3 in einer Minute
- Nachteile:
  - Highway Hierarchien tendieren zur Kartenmitte
  - Knoten am Rand wären dagegen geeignetere Landmarken
  - Landmarken in den unteren Ebenen nicht nutzbar
  - ungerichtete Suche bis alle Eintrittspunkte in Kern bestimmt



## Core Landmarks

- MaxCover für Europa: ca. 75 Minuten
- Highway Hierarchie: ca. 15 Minuten

### Idee: Nutze Highway Hierarchien

Reduziere mögliche Landmarken durch Highway Hierarchien.

- höherer Kern als Basis statt Originalgraph
- reduzierte Knotenzahl → viel schnellere Berechnung
  - 16 MaxCover-Landmarken auf Level 3 in einer Minute
- Nachteile:
  - Highway Hierarchien tendieren zur Kartenmitte
  - Knoten am Rand wären dagegen geeignetere Landmarken
  - Landmarken in den unteren Ebenen nicht nutzbar
  - ungerichtete Suche bis alle Eintrittspunkte in Kern bestimmt

# Core Landmarks

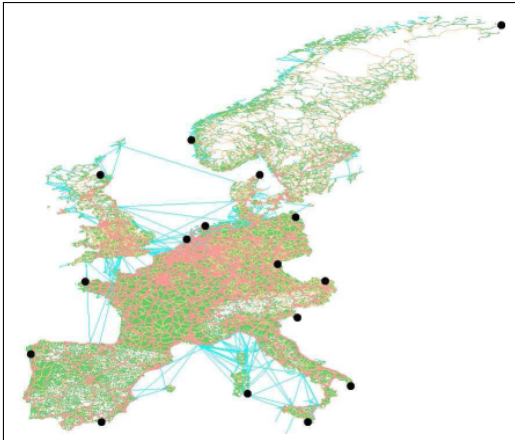


Abbildung: 16 core-1 Landmarken des westeuropäischen Straßennetzes



# Gliederung

- 1 Einführung
  - Motivation
  - zielgerichtete Suche
- 2 Algorithmen
  - Algorithmus A\*
  - A\* mit Landmarken
  - Bestimmung von Landmarken
  - **Highway Hierarchies \***
- 3 Optimierungen
  - Näherungslösungen
  - bessere obere Schranken
  - Limitierung der Komponentengröße
- 4 Auswertung
  - Ergebnisse
  - Zusammenfassung



# Highway Hierarchies \*

- HH\* kombiniert:
  - Highway Hierarchien
  - bidirektionales A\*
  - vorberechnete Landmarken
  - Dreiecksungleichungen
  - vorberechnete Distanztabelle für höchsten Kern



# Highway Hierarchies \*

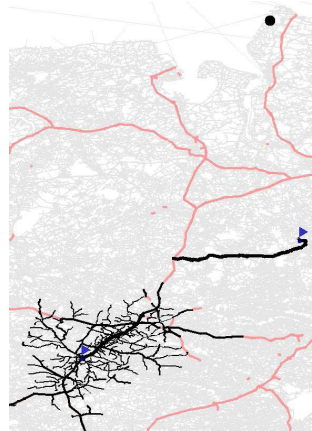
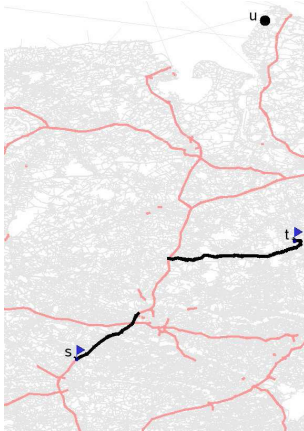


Abbildung: Suche mit Highway Hierarchies \*



# Vorgehensweise bei der Suche I

- bidirektionale Suche
  - iterativ
  - bevorzuge jeweils die Richtung mit weniger Eintrittspunkten
  - wie HH: kein Abbruch bei Aufeinandertreffen der Suchbereiche



- Landmarken
  - Auswahl beim Start: nur eine für jede Richtung
  - zur Abschätzung der unteren Schranke für A\*
  - wähle Landmarke mit der höchsten unteren Schranke für  $d(s, t)$

# Vorgehensweise bei der Suche I

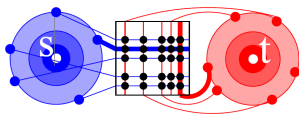
- bidirektionale Suche
  - iterativ
  - bevorzuge jeweils die Richtung mit weniger Eintrittspunkten
  - wie HH: kein Abbruch bei Aufeinandertreffen der Suchbereiche



- Landmarken
  - Auswahl beim Start: nur eine für jede Richtung
  - zur Abschätzung der unteren Schranke für A\*
  - wähle Landmarke mit der höchsten unteren Schranke für  $d(s, t)$

## Vorgehensweise bei der Suche II

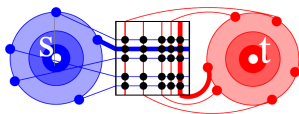
- einfacher Ansatz:
  - beginne mit ungerichteter Suche
  - bestimme alle Eintrittspunkte aus beiden Richtungen
  - ermittle minimalen Weg aus vorberechneter Distanztabelle
  - weiter mit zielgerichteter Suche im ersten Kern



- besser: bei Entdeckung eines Eintrittspunktes  $u$ :
  - betrachte alle Paare  $(u, v)$ ,  $v$  Eintrittspunkt aus Gegenrichtung
  - wenn möglich, verbessere vorläufigen kürzesten Pfad  $\mu$
  - veränderte Reihenfolge, gleicher Suchraum

# Vorgehensweise bei der Suche II

- einfacher Ansatz:
  - beginne mit ungerichteter Suche
  - bestimme alle Eintrittspunkte aus beiden Richtungen
  - ermittle minimalen Weg aus vorberechneter Distanztabelle
  - weiter mit zielgerichteter Suche im ersten Kern



- besser: bei Entdeckung eines Eintrittspunktes  $u$ :
  - betrachte alle Paare  $(u, v)$ ,  $v$  Eintrittspunkt aus Gegenrichtung
  - wenn möglich, verbessere vorläufigen kürzesten Pfad  $\mu$
  - veränderte Reihenfolge, gleicher Suchraum

## Vorgehensweise bei der Suche III

- Pruning
  - Pfad von  $s$  nach  $t$   
→ obere Schranke  $\mu$  für kürzesten Pfad.
  - $d(s, u) + \underline{d}(u, t) > \mu$   
→  $u$  braucht nicht weiter verfolgt zu werden.
  - Identische untere Schranke für Pruning und Prioritäten:
    - Kriterium gilt für *alle* Knoten in der gleichen Prioritätswarteschlange.
    - Abbruchbedingung: Suche in diese Richtung kann gestoppt werden.



## Vorgehensweise bei der Suche III

- Pruning
  - Pfad von  $s$  nach  $t$   
→ obere Schranke  $\mu$  für kürzesten Pfad.
  - $d(s, u) + \underline{d}(u, t) > \mu$   
→  $u$  braucht nicht weiter verfolgt zu werden.
  - Identische untere Schranke für Pruning und Prioritäten:
    - Kriterium gilt für *alle* Knoten in der gleichen Prioritätswarteschlange.
    - Abbruchbedingung: Suche in diese Richtung kann gestoppt werden.



## Vorgehensweise bei der Suche III

- Pruning
  - Pfad von  $s$  nach  $t$   
→ obere Schranke  $\mu$  für kürzesten Pfad.
  - $d(s, u) + \underline{d}(u, t) > \mu$   
→  $u$  braucht nicht weiter verfolgt zu werden.
  - Identische untere Schranke für Pruning und Prioritäten:
    - Kriterium gilt für *alle* Knoten in der gleichen Prioritätswarteschlange.
    - Abbruchbedingung: Suche in diese Richtung kann gestoppt werden.



# Gliederung

- 1 Einführung
  - Motivation
  - zielgerichtete Suche
- 2 Algorithmen
  - Algorithmus A\*
  - A\* mit Landmarken
  - Bestimmung von Landmarken
  - Highway Hierarchies \*
- 3 **Optimierungen**
  - **Näherungslösungen**
  - bessere obere Schranken
  - Limitierung der Komponentengröße
- 4 Auswertung
  - Ergebnisse
  - Zusammenfassung



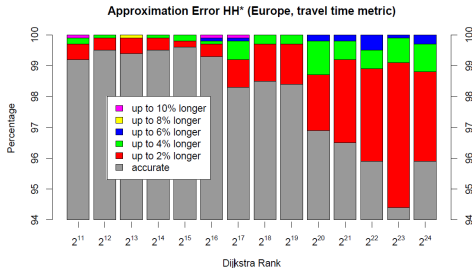
# Näherungslösungen I

- einen Pfad finden geht sehr schnell
- Prüfen, das es der kürzeste ist dauert lange
- Optimalität vernachlässigen und neue Abbruchbedingung
- suchen nach einem Pfad der Länge  $P$ 
  - $P \leq (1 + \varepsilon) \cdot OPT$
- deutlich verkürzte Suchzeiten
- Garantien werden eingehalten



## Näherungslösungen II

- Verteilung der Schätzungsfehler für Westeuropa bei Zeitmetrik
- garantierter maximaler Fehler  $\varepsilon = 10\%$
- Dijkstra Rang ist die Anzahl der Knoten die beim normalen Dijkstra angefasst worden wären

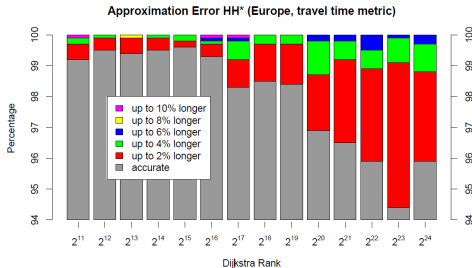


- 94% liefern genaues Ergebnis
- totaler Fehler bei 0.056%



## Näherungslösungen II

- Verteilung der Schätzungsfehler für Westeuropa bei Zeitmetrik
- garantierter maximaler Fehler  $\varepsilon = 10\%$
- Dijkstra Rang ist die Anzahl der Knoten die beim normalen Dijkstra angefasst worden wären



- 94% liefern genaues Ergebnis
- totaler Fehler bei 0.056%



# Gliederung

- 1 Einführung
  - Motivation
  - zielgerichtete Suche
- 2 Algorithmen
  - Algorithmus A\*
  - A\* mit Landmarken
  - Bestimmung von Landmarken
  - Highway Hierarchies \*
- 3 **Optimierungen**
  - Näherungslösungen
  - **bessere obere Schranken**
  - Limitierung der Komponentengröße
- 4 Auswertung
  - Ergebnisse
  - Zusammenfassung

## bessere obere Schranken

- bei der Suche kann man schon früher auf Knoten treffen, die in der Distanztabelle sind auch wenn man noch nicht in dem höchsten Kern ist
- diese Distanz könnte länger sein, als die man auf niederen Kernen erzielen kann
- deswegen nicht sofort als kürzester Pfad sondern nur obere Schranke
- aber: finden oberer Schranken funktioniert bereits sehr gut
- nutzbar vor allem für Näherungssuche
  - wenn Suche beendet, Prüfung der Knoten in den Prioritätswarteschlangen ob noch eine Verbesserung möglich



# Gliederung

- 1 Einführung
  - Motivation
  - zielgerichtete Suche
- 2 Algorithmen
  - Algorithmus A\*
  - A\* mit Landmarken
  - Bestimmung von Landmarken
  - Highway Hierarchies \*
- 3 **Optimierungen**
  - Näherungslösungen
  - bessere obere Schranken
  - **Limitierung der Komponentengröße**
- 4 Auswertung
  - Ergebnisse
  - Zusammenfassung



# Limitierung der Komponentengröße

- Anzahl der Sprünge in einer Abkürzung begrenzen
- Komponenten der übersprungenen Knoten werden kleiner
- diese werden bei der Suche von Start bzw Ziel zum Eintrittspunkt benötigt
- zusätzlich positiver Einfluss auf worst-case Zeiten
  - große Komponenten in schwach besetzten Gebieten



# Gliederung

- 1 Einführung
  - Motivation
  - zielgerichtete Suche
- 2 Algorithmen
  - Algorithmus  $A^*$
  - $A^*$  mit Landmarken
  - Bestimmung von Landmarken
  - Highway Hierarchies \*
- 3 Optimierungen
  - Näherungslösungen
  - bessere obere Schranken
  - Limitierung der Komponentengröße
- 4 Auswertung
  - Ergebnisse
  - Zusammenfassung



## Ergebnisse I

- Vergleich der unterschiedlichen HH-Arten
- $\emptyset$  - HH Pur, DT - HH mit Distanztabelle, ALT - HH mit ALT, both - HH\*
- Wert in Klammern entspricht Näherungslösung
- disk-space inklusive Originalgraph

metric	Europe				USA				
	$\emptyset$	DT	ALT	both	$\emptyset$	DT	ALT	both	
time	preproc. time [min]	16	18	19	21	22	25	26	27
	total disk space [MB]	886	1273	1326	1713	1129	1574	1743	2188
	#settled nodes	1662	916	916	686 (176)	1966	1098	1027	787 (162)
	query time [ms]	1.49	0.79	1.04	0.68 (0.21)	1.58	0.89	1.05	0.73 (0.21)
dist	preproc. time [min]	46	46	49	48	54	56	58	58
	total disk space [MB]	894	1506	1337	1948	1140	1721	1754	2335
	#settled nodes	10284	5067	3347	2138 (177)	9706	5477	2784	2021 (169)
	query time [ms]	10.93	6.02	4.33	2.54 (0.30)	9.74	6.24	3.42	2.23 (0.33)

- Unterschiede zwischen Zeit- und Distanzmetrik
- USA: Distanz relativ zu Europa besser
- wesentliche Einsparung bei Näherungslösung
- kaum mehr Vorberechnung, aber mehr Platzbedarf

# Ergebnisse I

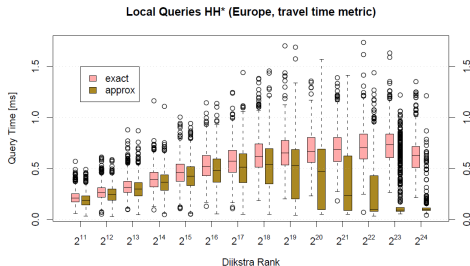
- Vergleich der unterschiedlichen HH-Arten
- $\emptyset$  - HH Pur, DT - HH mit Distanztabelle, ALT - HH mit ALT, both - HH\*
- Wert in Klammern entspricht Näherungslösung
- disk-space inklusive Originalgraph

metric	Europe				USA				
	$\emptyset$	DT	ALT	both	$\emptyset$	DT	ALT	both	
time	preproc. time [min]	16	18	19	21	22	25	26	27
	total disk space [MB]	886	1 273	1 326	1 713	1 129	1 574	1 743	2 188
	#settled nodes	1 662	916	916	686 (176)	1 966	1 098	1 027	787 (162)
	query time [ms]	1.49	0.79	1.04	0.68 (0.21)	1.58	0.89	1.05	0.73 (0.21)
dist	preproc. time [min]	46	46	49	48	54	56	58	58
	total disk space [MB]	894	1 506	1 337	1 948	1 140	1 721	1 754	2 335
	#settled nodes	10 284	5 067	3 347	2 138 (177)	9 706	5 477	2 784	2 021 (169)
	query time [ms]	10.93	6.02	4.33	2.54 (0.30)	9.74	6.24	3.42	2.23 (0.33)

- Unterschiede zwischen Zeit- und Distanzmetrik
- USA: Distanz relativ zu Europa besser
- wesentliche Einsparung bei Näherungslösung
- kaum mehr Vorberechnung, aber mehr Platzbedarf

# Ergebnisse II

- Verteilung der Anfragezeiten für Westeuropa bei Zeitmetrik
- Vergleich: genaue Lösung und Näherungslösung

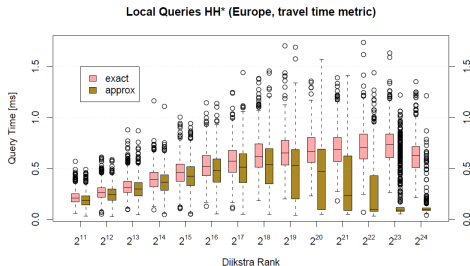


- lange Anfragen profitieren zunehmend von Näherungen
- lange Anfragen werden durch Distanztabelle beschränkt
- prozentual erlaubter Fehler führt zu früherem Abbrechen bei Näherung
- Varianz der Anfragezeiten zunehmend



# Ergebnisse II

- Verteilung der Anfragezeiten für Westeuropa bei Zeitmetrik
- Vergleich: genaue Lösung und Näherungslösung



- lange Anfragen profitieren zunehmend von Näherungen
- lange Anfragen werden durch Distanztabelle beschränkt
- prozentual erlaubter Fehler führt zu früherem Abbrechen bei Näherung
- Varianz der Anfragezeiten zunehmend

# Gliederung

- 1 Einführung
  - Motivation
  - zielgerichtete Suche
- 2 Algorithmen
  - Algorithmus A\*
  - A\* mit Landmarken
  - Bestimmung von Landmarken
  - Highway Hierarchies \*
- 3 Optimierungen
  - Näherungslösungen
  - bessere obere Schranken
  - Limitierung der Komponentengröße
- 4 Auswertung
  - Ergebnisse
  - Zusammenfassung

# Zusammenfassung

- Speedup von HH von  $\approx 5000$  gegenüber bidirektionalen Dijkstra
- HH\* 2,2 mal schneller als HH
- mit Näherungslösung weitere 3,2 mal schneller
- Zeit- und Distanzmetriken möglich
- schnelle Vorberechnung
- Anfragezeiten und Speicherverbrauch praxistauglich für mobile Navigation
- für Verkehrssimulation eher nicht
- offene Probleme:
  - Kombination von Metriken: Zeit, Distanz, Verbrauch, Maut ...
  - lokale Updates des Straßennetzes: Staus, Baustellen ...



# Zusammenfassung

- Speedup von HH von  $\approx 5000$  gegenüber bidirektionalen Dijkstra
- HH\* 2,2 mal schneller als HH
- mit Näherungslösung weitere 3,2 mal schneller
- Zeit- und Distanzmetriken möglich
- schnelle Vorberechnung
- Anfragezeiten und Speicherverbrauch praxistauglich für mobile Navigation
- für Verkehrssimulation eher nicht
- offene Probleme:
  - Kombination von Metriken: Zeit, Distanz, Verbrauch, Maut ...
  - lokale Updates des Straßennetzes: Staus, Baustellen ...



# Zusammenfassung

- Speedup von HH von  $\approx 5000$  gegenüber bidirektionalen Dijkstra
- HH\* 2,2 mal schneller als HH
- mit Näherungslösung weitere 3,2 mal schneller
- Zeit- und Distanzmetriken möglich
- schnelle Vorberechnung
- Anfragezeiten und Speicherverbrauch praxistauglich für mobile Navigation
- für Verkehrssimulation eher nicht
- offene Probleme:
  - Kombination von Metriken: Zeit, Distanz, Verbrauch, Maut ...
  - lokale Updates des Straßennetzes: Staus, Baustellen ...

